Meteore und Infraschall

Martin Dubs

AGG, FMA

Bern, 28. April 2018

Inhalt

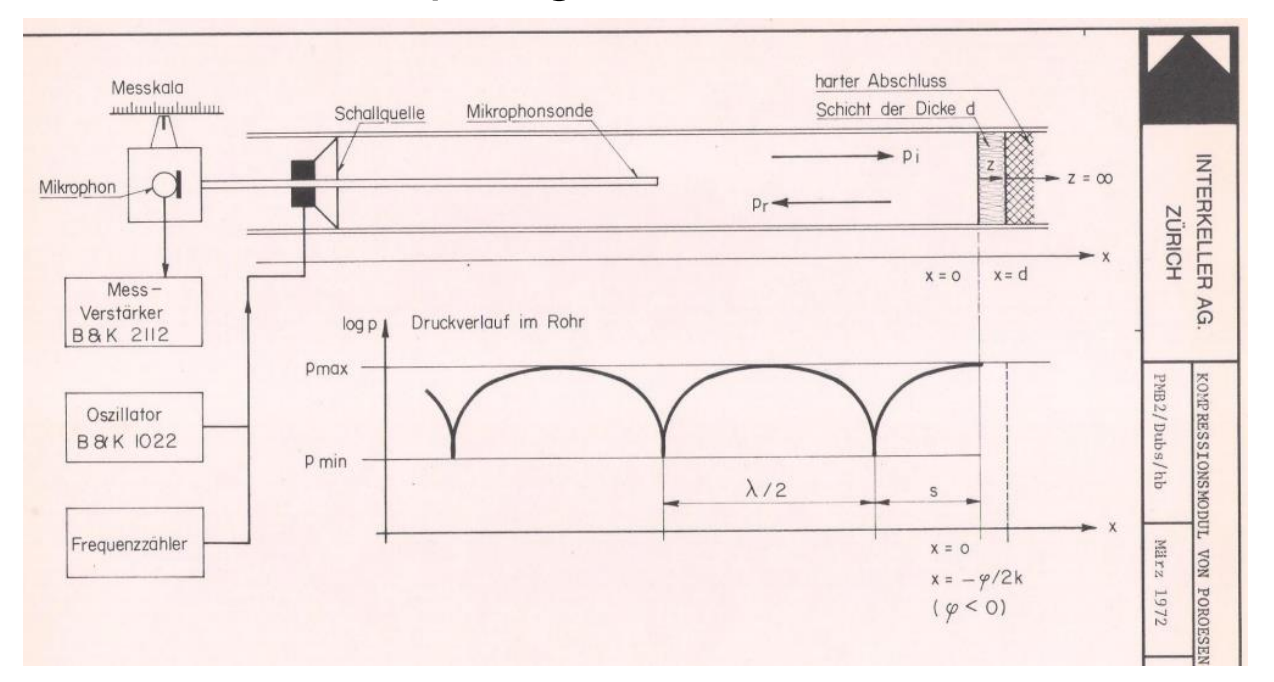
- Einleitung
- Akustik, Schallgeschwindigkeit
- Schallausbreitung
 - Atmosphäre (Wasser)
 - Refraktion
 - Dämpfung
- Explosion und Überschallknall
- Beispiele
- Messung
- Störquellen
- Literatur

Einleitung

Diskussionen mit Anwendern: Roger, Jochen, Modell Jonas, Beat

Vor langer Zeit: Automobilakustik, Schalldämmung,

Vibrationsdämpfung



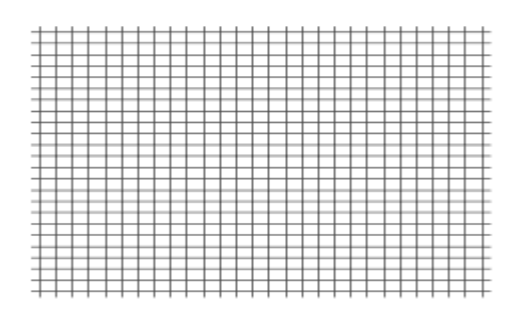


Schallwellen

- Longitudinale Wellen, Dichteschwankungen
- Ideales Gasgesetz p*V = N*k*T
- Schallgeschwindigkeit:

- Für ideales Gas:
$$c_{\mathrm{Ideales\ Gas}} = \sqrt{\kappa \, \frac{RT}{M}}$$

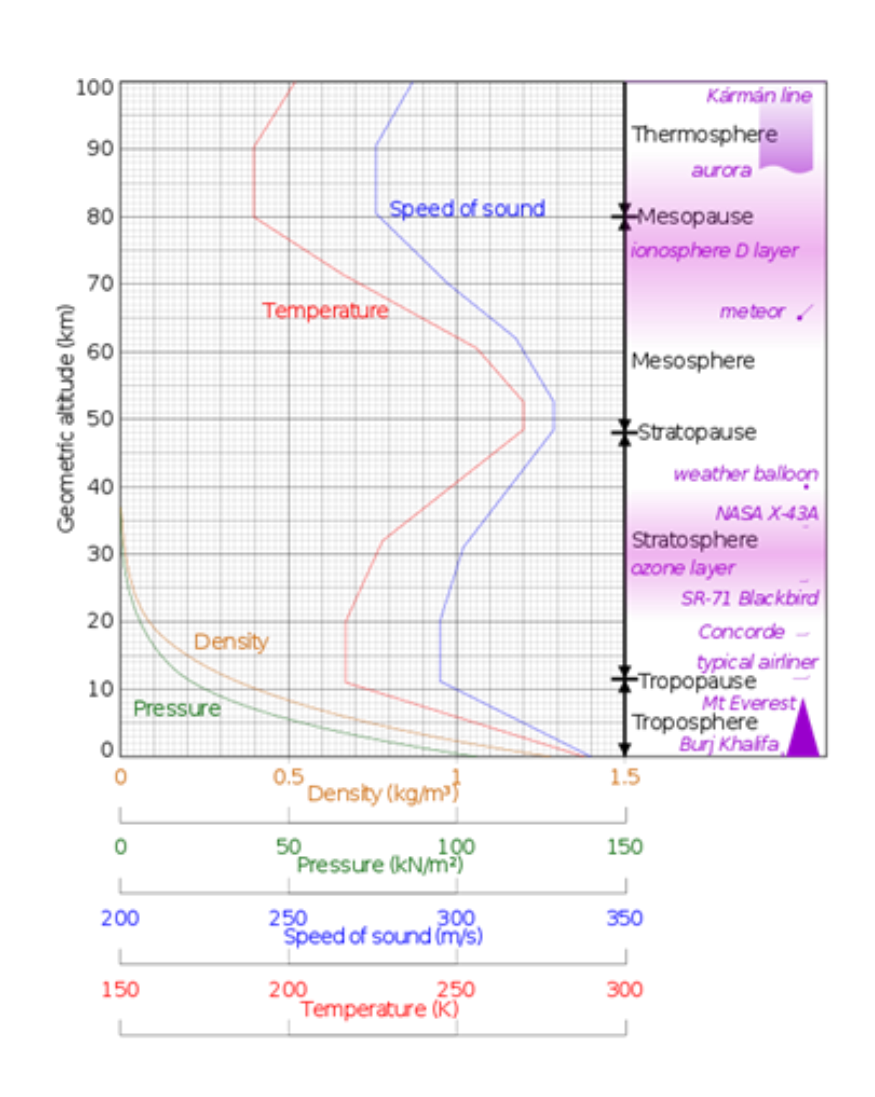
- Für Luft:
$$c_{\text{Luft}} = 20.05 * \sqrt{T}$$



$$\kappa$$
 =1.4 für Luft

Schallgeschwindigkeit Atmosphäre

- Temperaturabhängigkeit
- Temperaturprofil der Atmosphäre
- Höhenabhängigkeit
- Standardprofil
- Windstill



Schallausbreitung in der Atmosphäre

Wellenleitereffekt: Schall bleibt in Gebiet niedriger
 Schallgeschwindigkeit gefangen

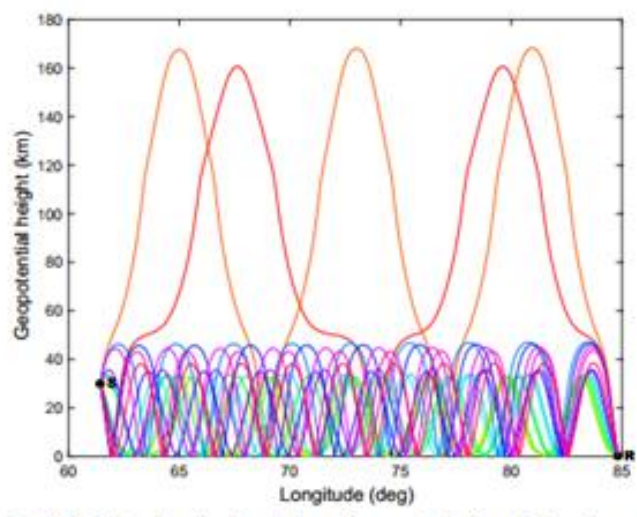
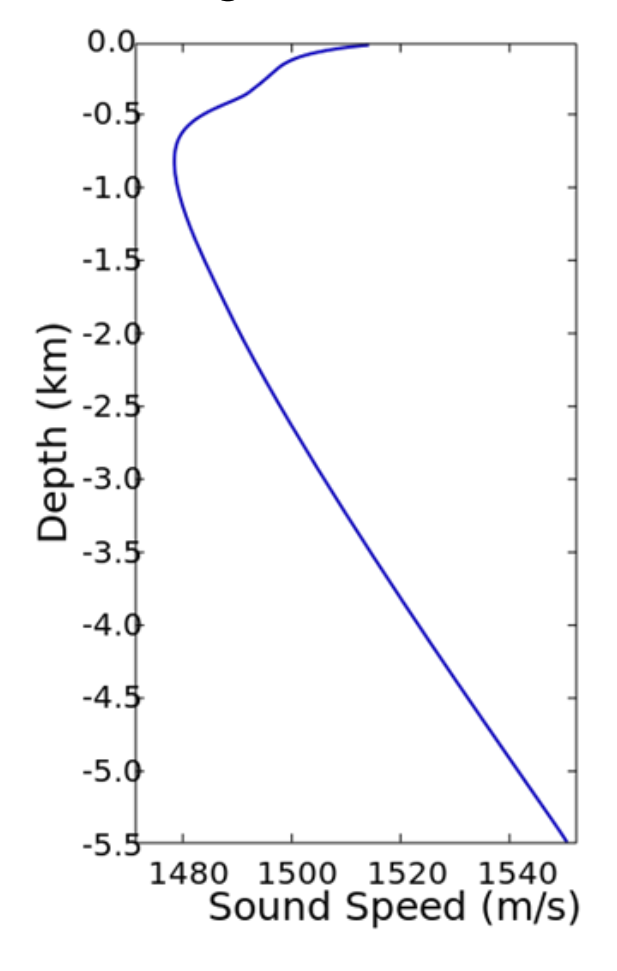


Fig 4: An example of a height – longitude cut along the great-circle path showing a raytracing plot with all eigenrays emitted from a source height of 30km (left hand side of the plot) reaching the station IS46 for the Chelyabinsk event.

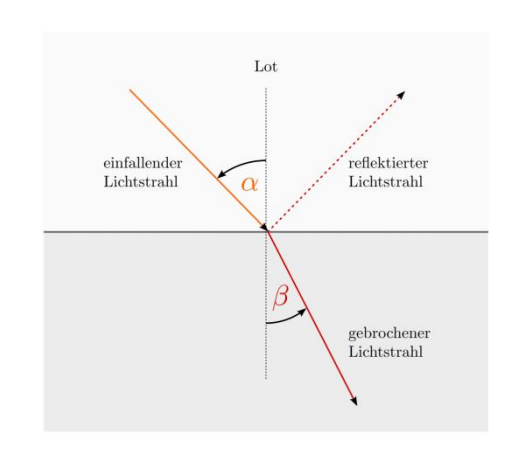
Schallausbreitung im Wasser

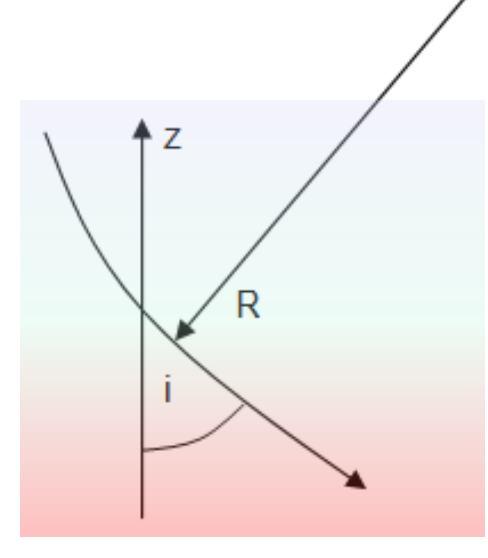
- Schallkanal, minimale Schallgeschwindigkeit in ca. 0.5 1 km Tiefe
- Wichtig z. B. für U-Boot Ortung



Refraktion von Schallwellen

- **zum** Vergleich Optik: Brechungsgesetz sin i / sin $i_0 = n_0 / n_0$
- Akustik: keine Temperatursprünge, Temperaturgradient: kontinuierliche Änderung der Schallgeschwindigkeit und des Einfallswinkels → Krümmung der Ausbreitungsrichtung sin i / sin i₀ = c / c₀ gilt bis c_{max} = c₀ / sin i₀
- Krümmungsradius, horizontale Ausbreitung: $R = -2*T/(\partial T/\partial z)$, mit Einfallswinkel i: $R = -2*T/(\partial T/\partial z)$ /sin(i)
 - $-5K/km \rightarrow R = 100 km$
 - Funktioniert auch f
 ür horizontale Ausbreitung





Temperaturgradient

Schalltote Zone falls Temperatur mit Höhe abnimmt

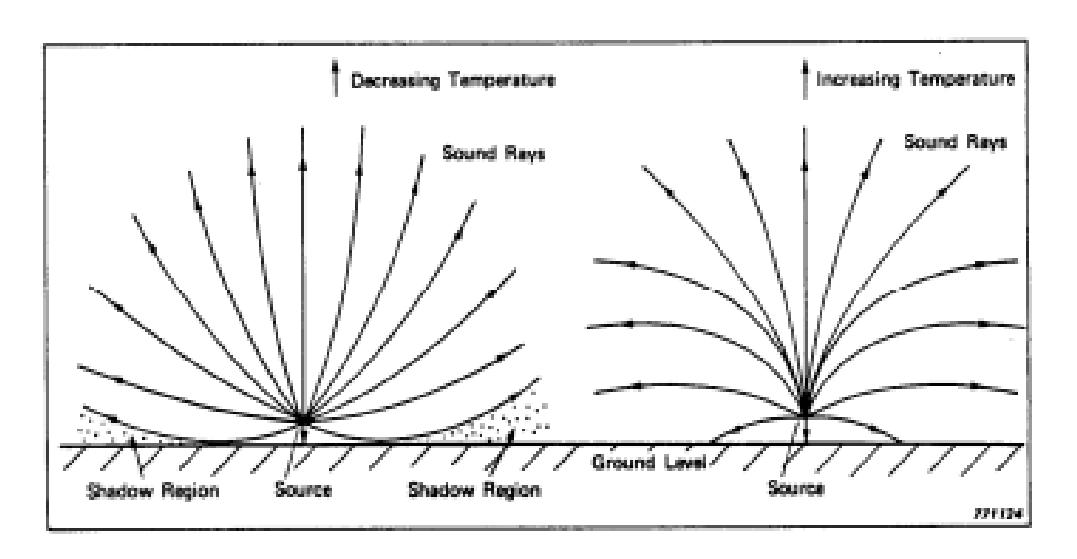


Figure 4. Refraction of sound with temperature gradients a) on left, normal lapse rate (decreasing temperature with altitude) b) on right, inverted lapse rate (temperature increases with altitude)

Aus: J. S. Lamancusa Penn State 7/20/2009 Outdoor Sound Propagation

Windgradient

■ Windstärke mit Höhe zunehmend, $R = \pm c /(\partial u/\partial h)/\sin(i)$

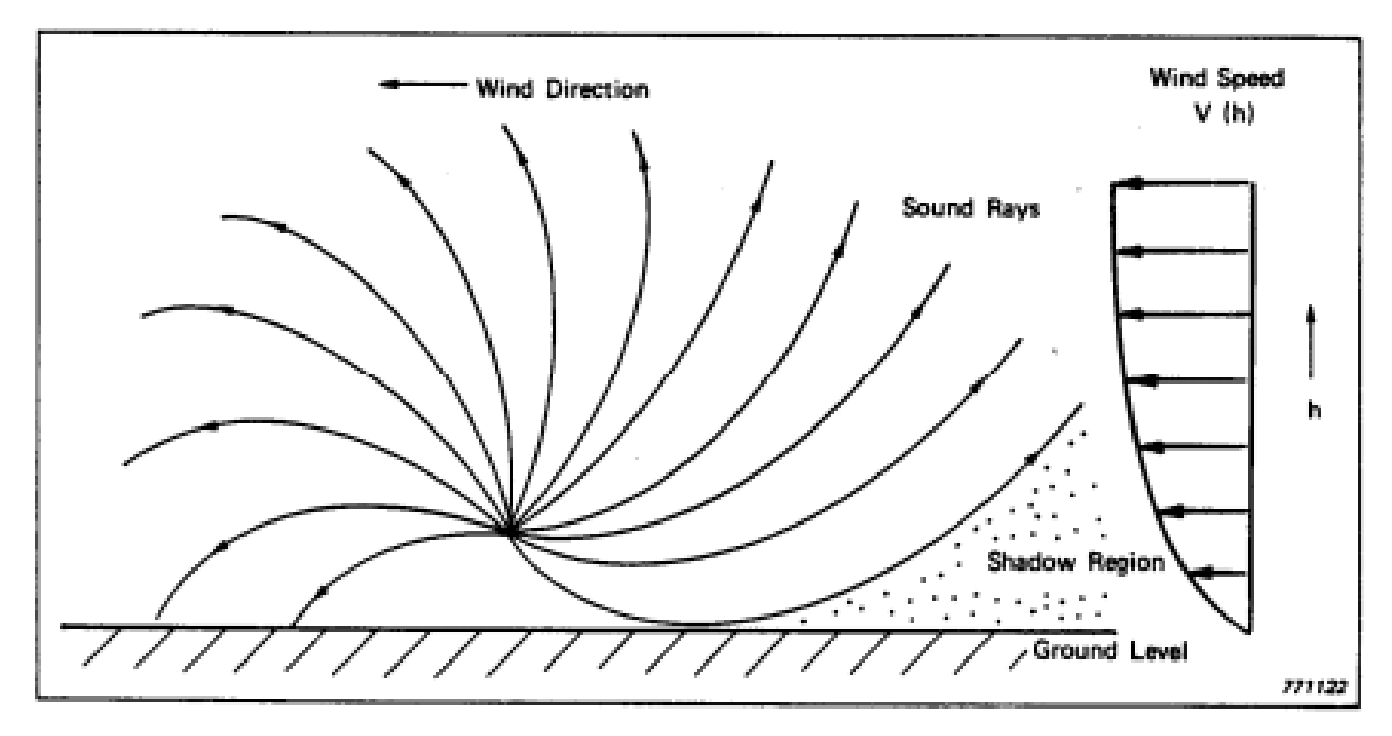
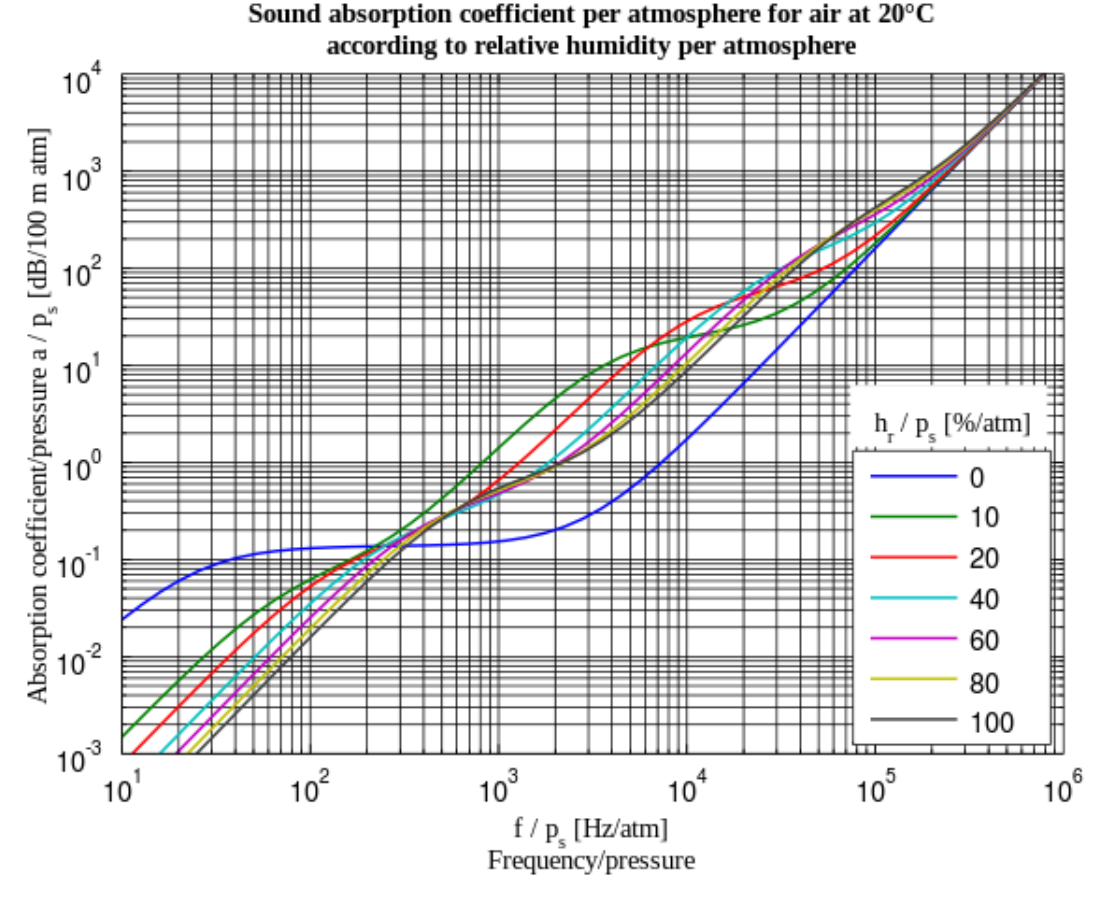


Figure 3. Refractive effects caused by wind

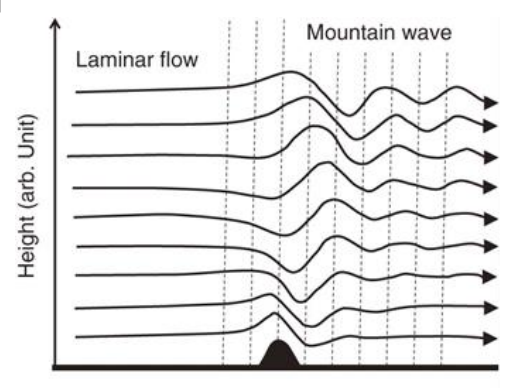
Schallabsorption

- Inelastische Stösse von Molekülen (N2, O2, H2O)
- Abhängig von Luftfeuchtigkeit
- Abhängig von Druck



Zusammenfassung

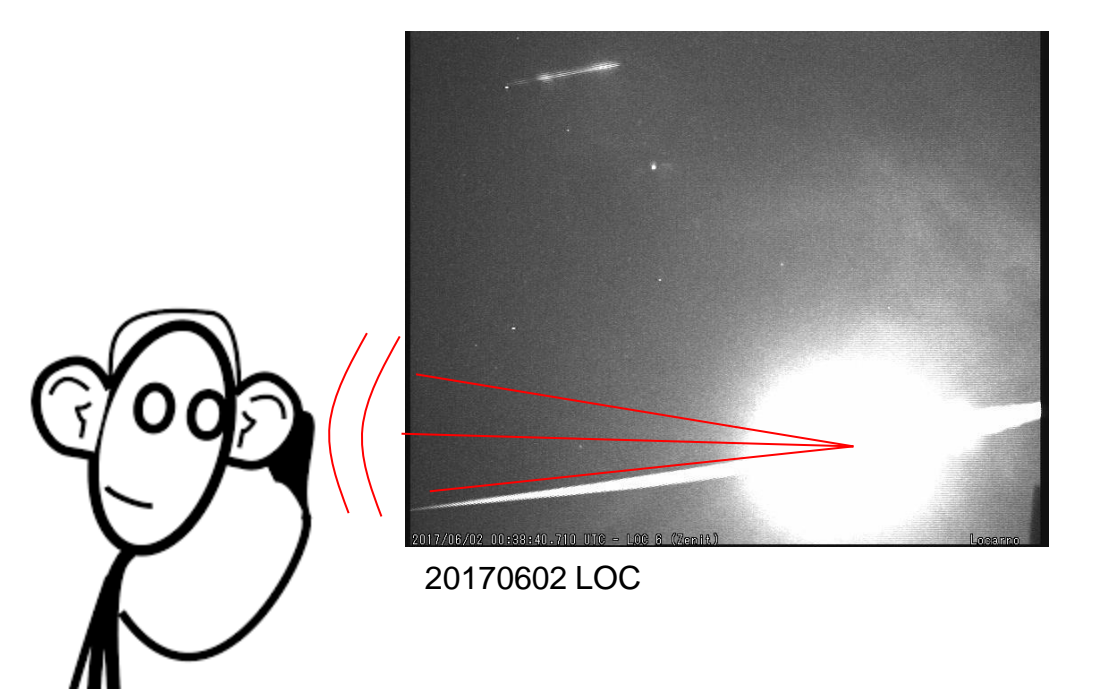
- Schallausbreitung, -geschwindigkeit beeinflusst durch
 - Temperaturgradienten
 - Wind und Windgradienten(z.B. Jetstream)
 - Luftfeuchtigkeit
 - Turbulenzen, Schwerewellen (Föhnlinsen)
- Ohne gutes Modell nur grobe Voraussagen möglich
- Über grössere Distanzen tiefe Frequenzen bevorzugt beobachtet, hohe Frequenzen werden absorbiert



Horizontal Distance (arb. Unit)

Explosion und Überschallknall

- Explosion
 - Fragmentierung



- Überschallknall
 - $-V_{met} >> C$
 - Kegel → Zylinder

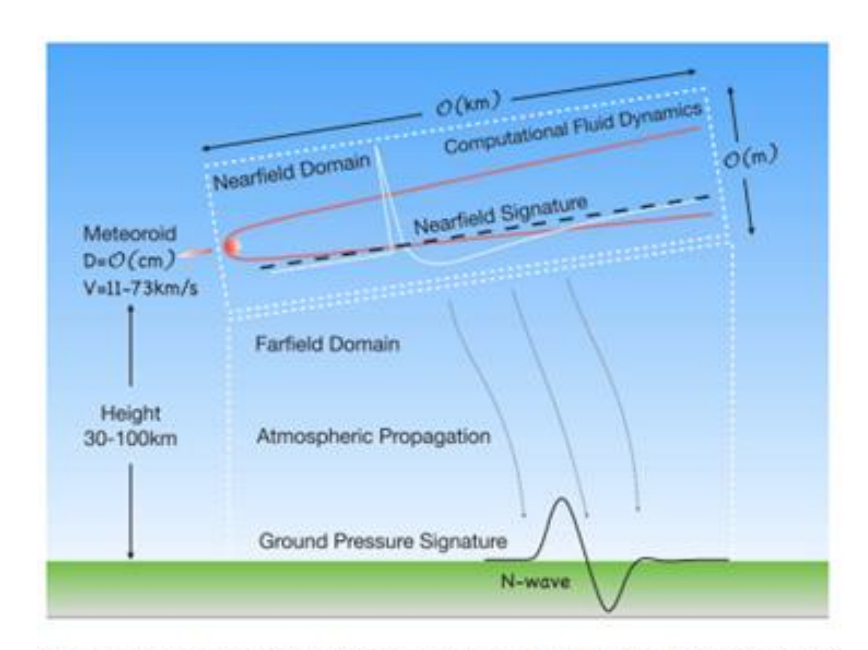
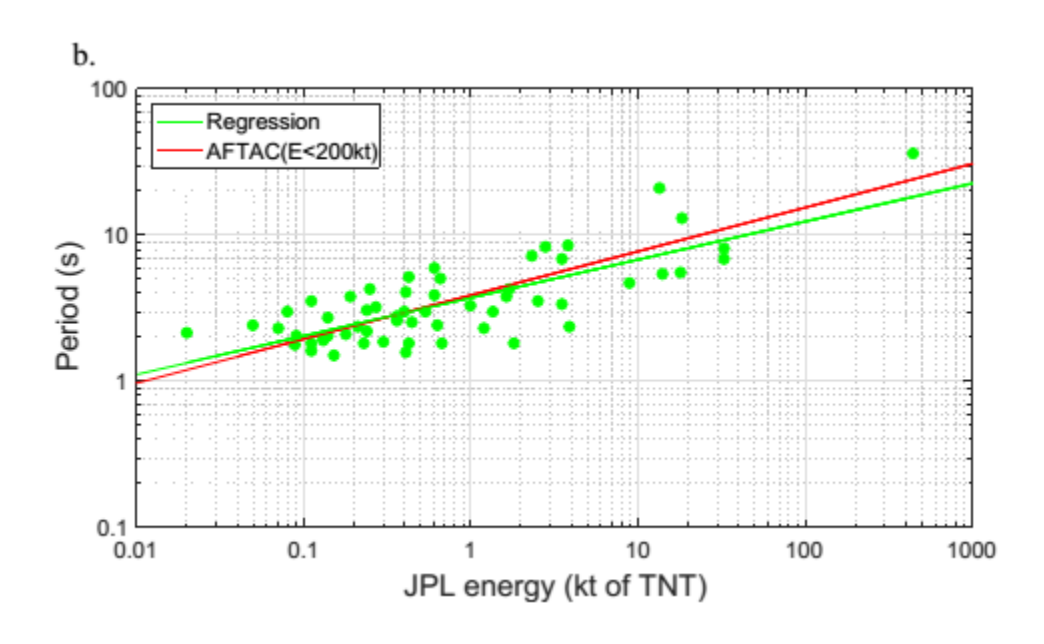


Fig. 1. Sketch of meteoroid entry generating a strong, cylindrical, blast-like pressure pulse that attenuates as it propagates to ground.

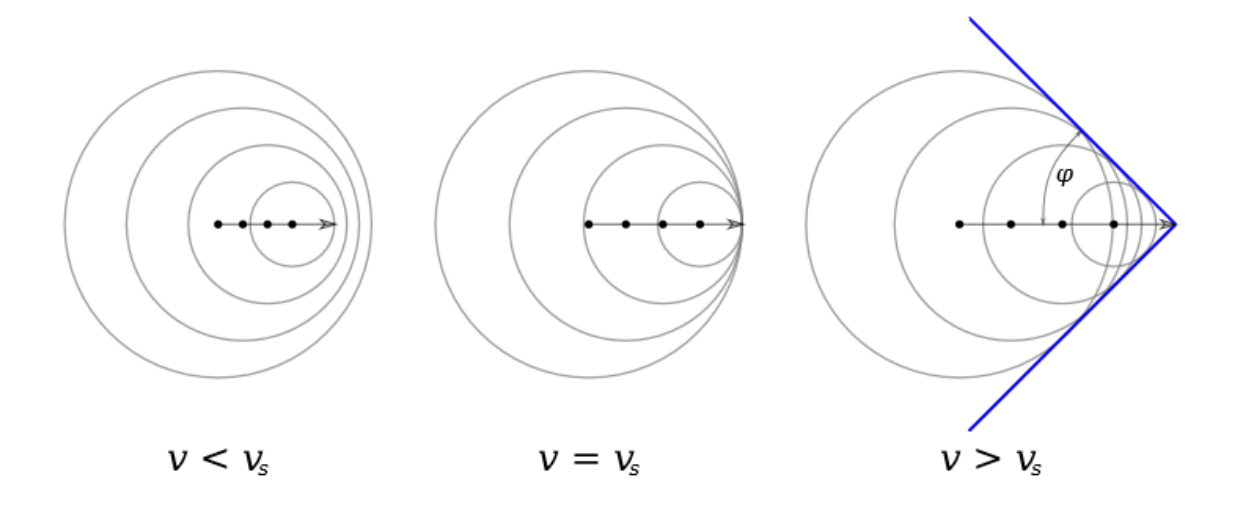
Explosion

- Grosse Gasmenge hohe Temperatur, hoher Druck → kugelförmige Schockwelle
- Bis zum Explosionsradius mit Überschall, nichtlinear
- Schockwelle hat oft mehrfache Peaks, oft kombiniert mit Überschallknall
- Schallperiode ca.
 proportional mit E^{1/3}
 (Nayeob Gi, Peter Brown Bolide chracteristic Infrasound Arxiv1704.07794)



Überschallknall 1

- Ausbreitung der Schockwelle mit c
- Sin $\varphi = c/v$
- Meteor c << v (300 m/s , 11 70 km/sec)
 φ < 2°, Kegel → Zylinder

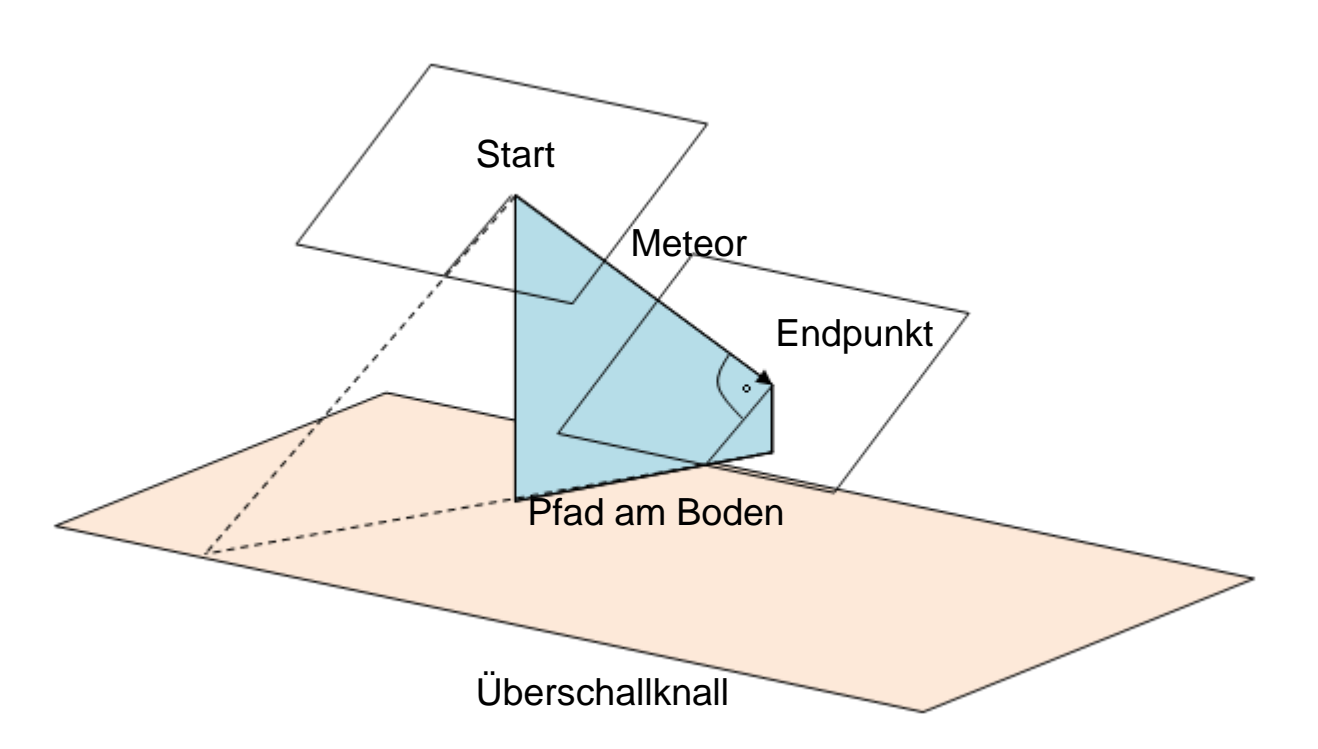




 $V \cong C$

Überschallknall 2

- Ausbreitung praktisch senkrecht zur Meteorbahn
- Ray launch angle β 90 ± 20° UFO Orbit: Qr1, Qr2 (Nayeob Gi, Peter Brown, Meteor Infrasound Arxiv1407.6331)



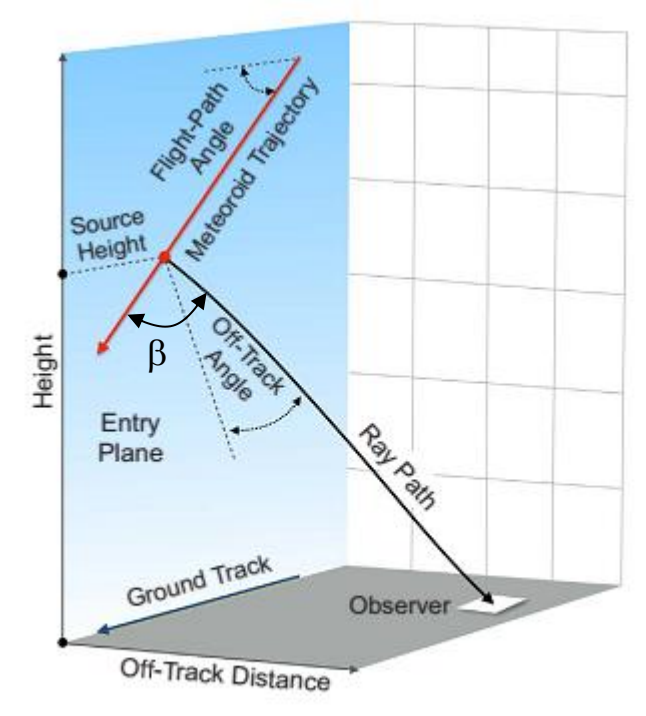
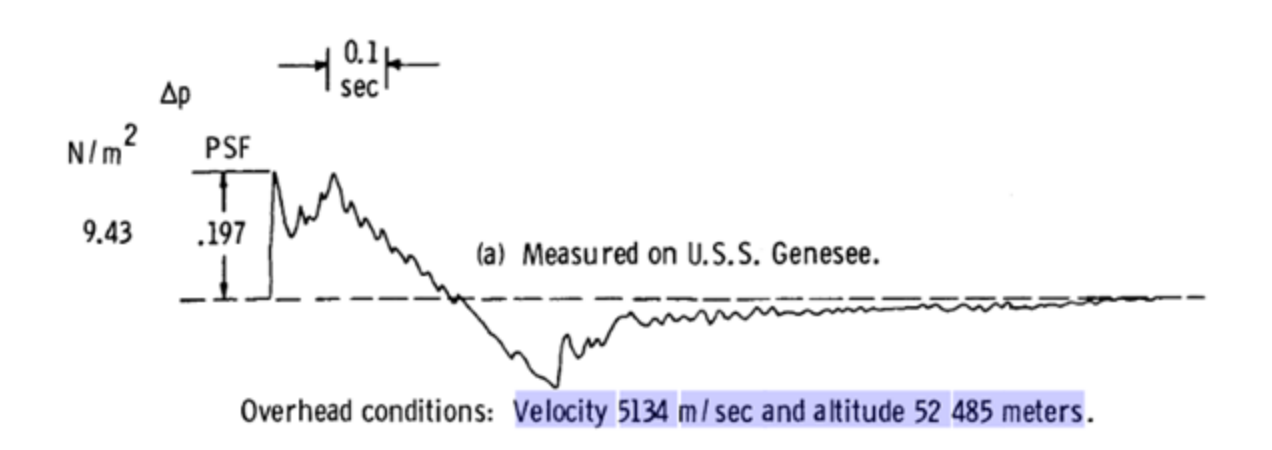


Fig. 3. Ray path from a source point on the trajectory to the observer.

Beispiele

- Apollo 15, 7. August 1971, Wiedereintritt
- Form, Masse, Geschwindigkeit exakt bekannt
- USS Genesee, Distanz 500 km
 D.A. Hilton et. al., Sonic Boom Ground Pressure Apollo 15
 NASA TN D-6950, 1972





Stardust

- Komet 81P/Wild-2
- Reentry 15. Januar 2006, 12.9 km/sec
- 6.4 km/sec:

M. Nemec et al.

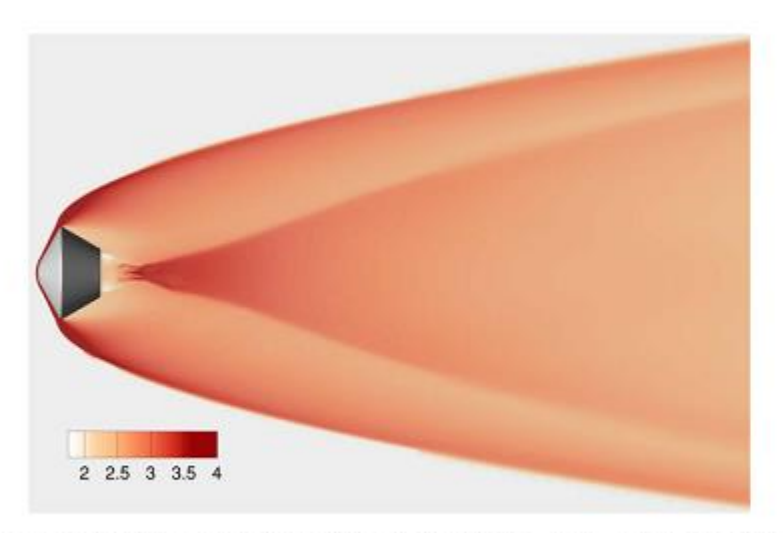


Fig. 4. Pressure contours around the Stardust capsule ($\log_{10}p$, $M_{\infty}=19.4$, H=50.4 km, $p_{\infty}=72.2$ Pa, D=0.81 m, equilibrium air model).

0.4,



Planetary and Space Science 140 (2017) 11-20

162 sec

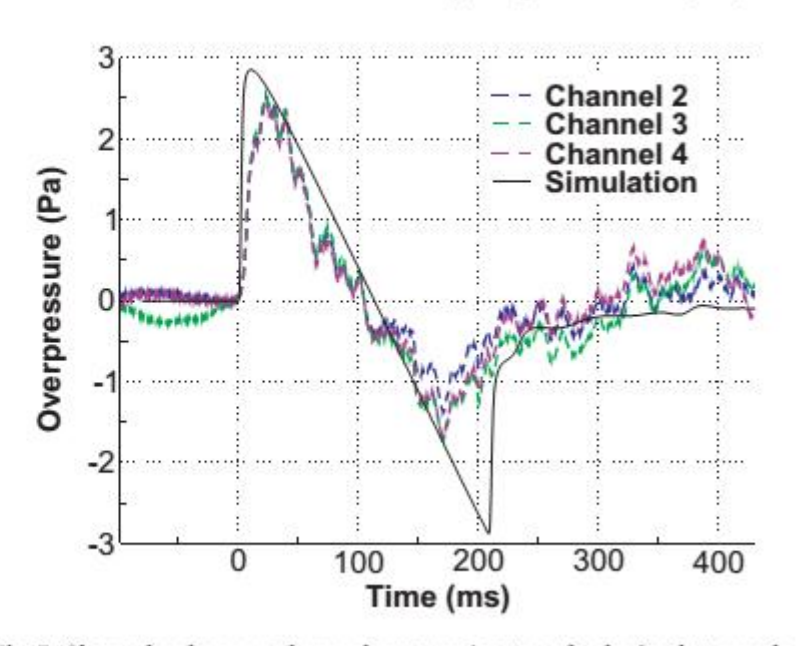


Fig. 7. Observed and computed ground pressure signatures for the Stardust capsule.

Meteor 20081028

■ Rechnung: Kugel, \varnothing 4.2 cm, 2 g/cm³, Mach 45.6, Höhe 53.7 km, T = 236 sec

M. Nemec et al. Planetary and Space Science 140 (2017) 11–20

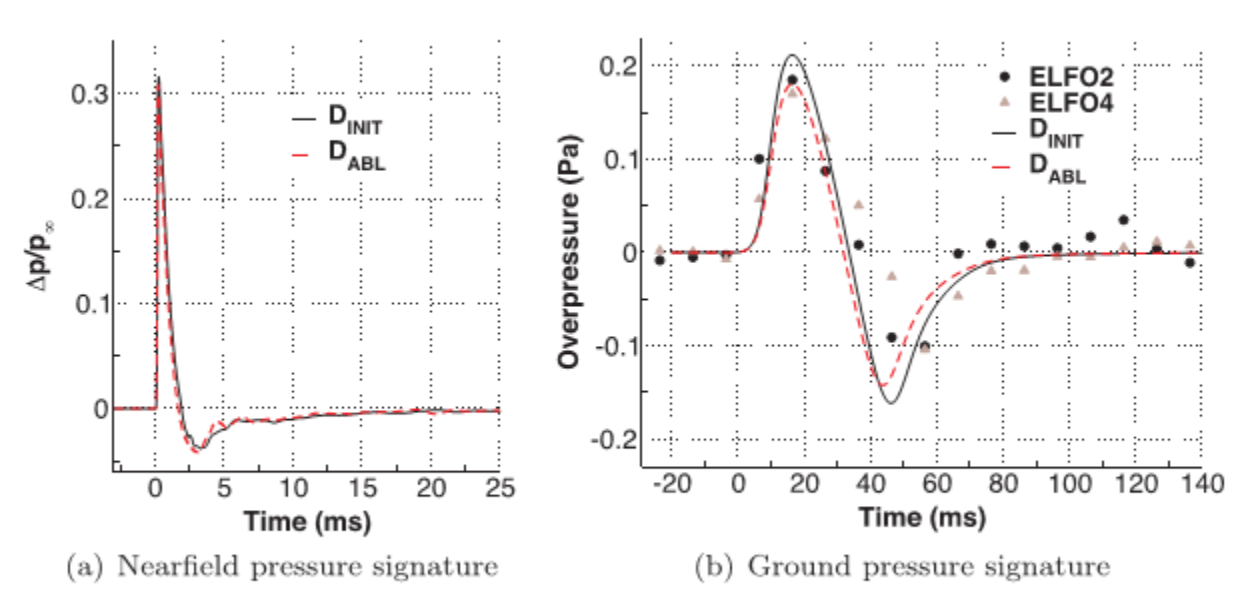


Fig. 9. Nearfield and ground pressure signatures for Meteor 20081028. Results for the initial and ablated shapes are shown, as well as observations from two ELFO sensors. Nearfield signature extracted at distance of 40D ($M_{\infty} = 45.6$ and H = 53.7 km).

Meteor 20090428

- 21.1 km/sec, Mach 72, Kugel Ø 6.1 cm
- Fragmentierung

M. Nemec et al.

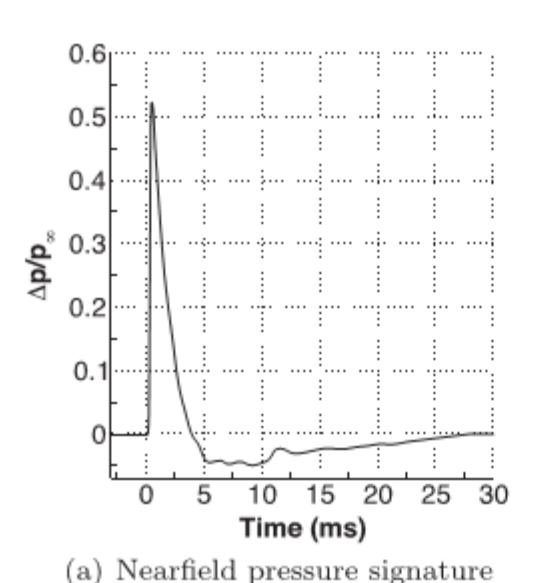


Table 3
Computed source heights and travel times.

Date	Source Height (km)	Off-track Angle (deg.)	ΔFPA ^a (deg.)	Travel Time (s)	% Diff
20080325	61	50°	-16.8°	341.1	0.03
20081028	53.7	36.5°	0	236	-1.7
20090428	58.7	55°	0	455	-0.2
20090428	70.9	50.5°	-19.2°	459.9	-0.02
20111005	72.4	25.8°	0	405.7	-0.3

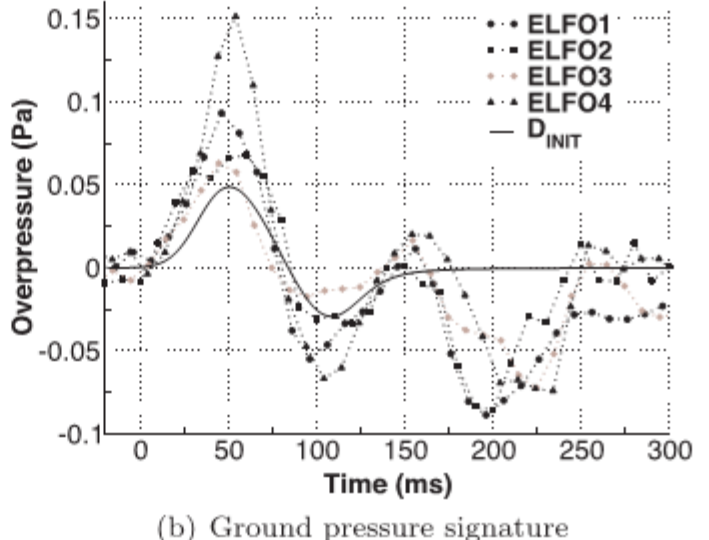
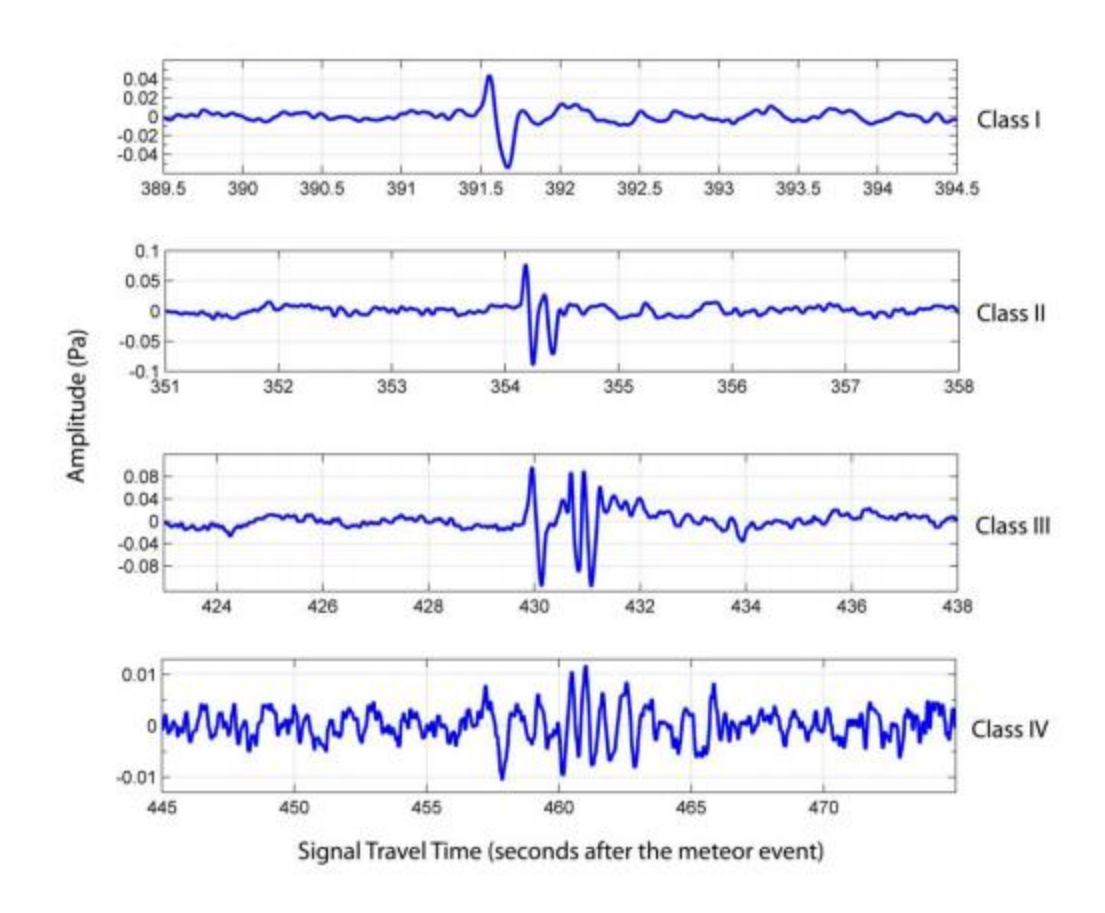


Fig. 11. Nearfield and ground pressure signatures for the second arrival from Meteor 20090428. Results for the initial (nonablated) shape and ELFO measurements are shown. Nearfield signature extracted at distance of 40D ($M_{\infty} = 72.1$ and H = 70.9 km).

Signalformen

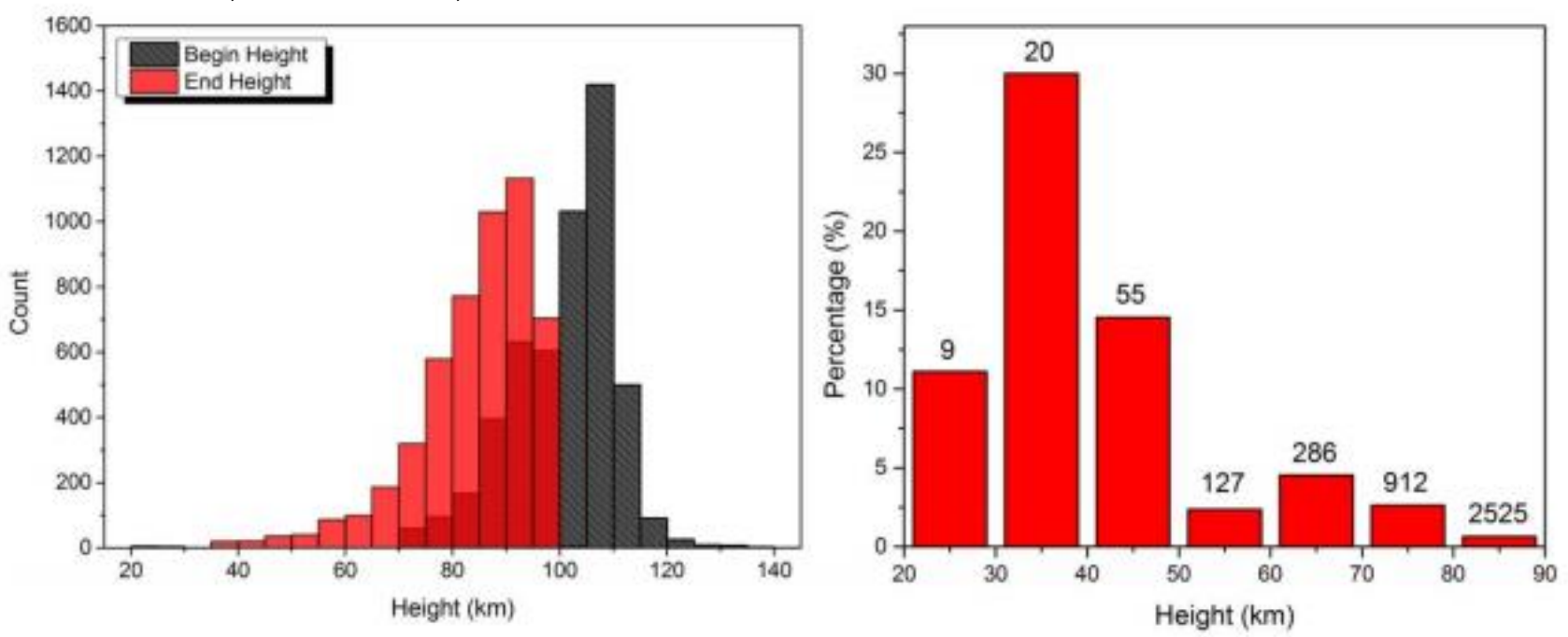
Klassifizierung
 E:A: Silber, P.G. Brown,
 Meteor Infrasound Arxiv1407.6331

Figure 2: Examples of each taxonomic class.



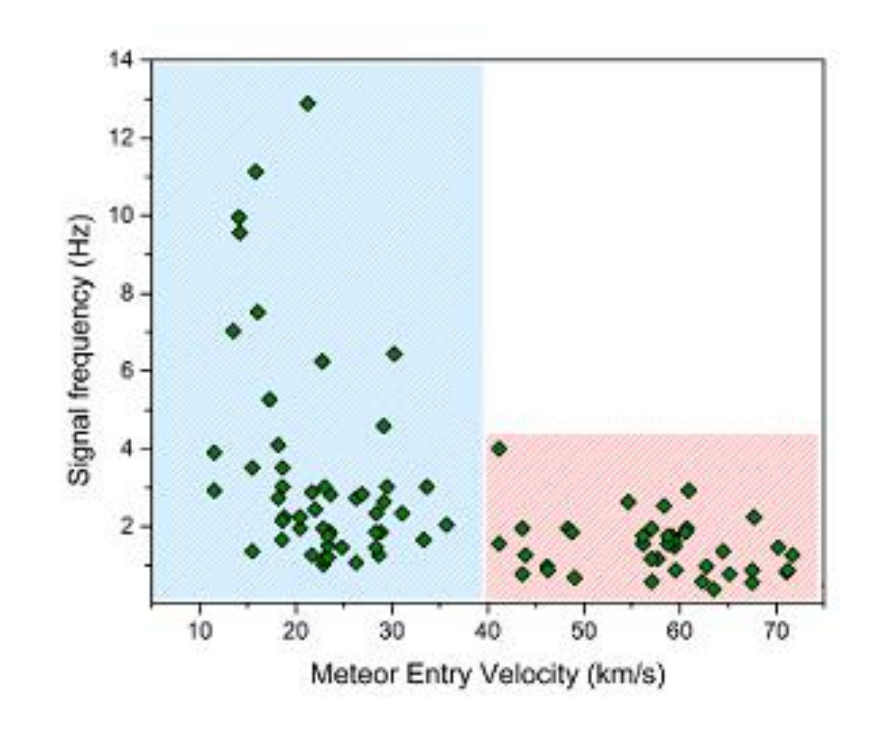
Vergleich optische - Infrasound Meteore

- Endhöhen 71 Meteore Infrasound und optische Daten
- Optisch: Endhöhe Mehrzahl > 80 km
- Infraschall: Endhöhe Mehrzahl < 50 km E:A: Silber, P.G. Brown, Meteor Infrasound Arxiv1407.6331



Geschwindigkeitsabhängigkeit

- Niedere Geschwindigkeiten: Asteroidenursprung, fest höhere Frequenzen
- Hohe Geschwindigkeiten: Kometenursprung, neigt zu Fragmentierung tiefe Frequenzen E:A: Silber, P.G. Brown, Meteor Infrasound Arxiv1407.6331
- Zusätzlich: Distanzabhängigkeit



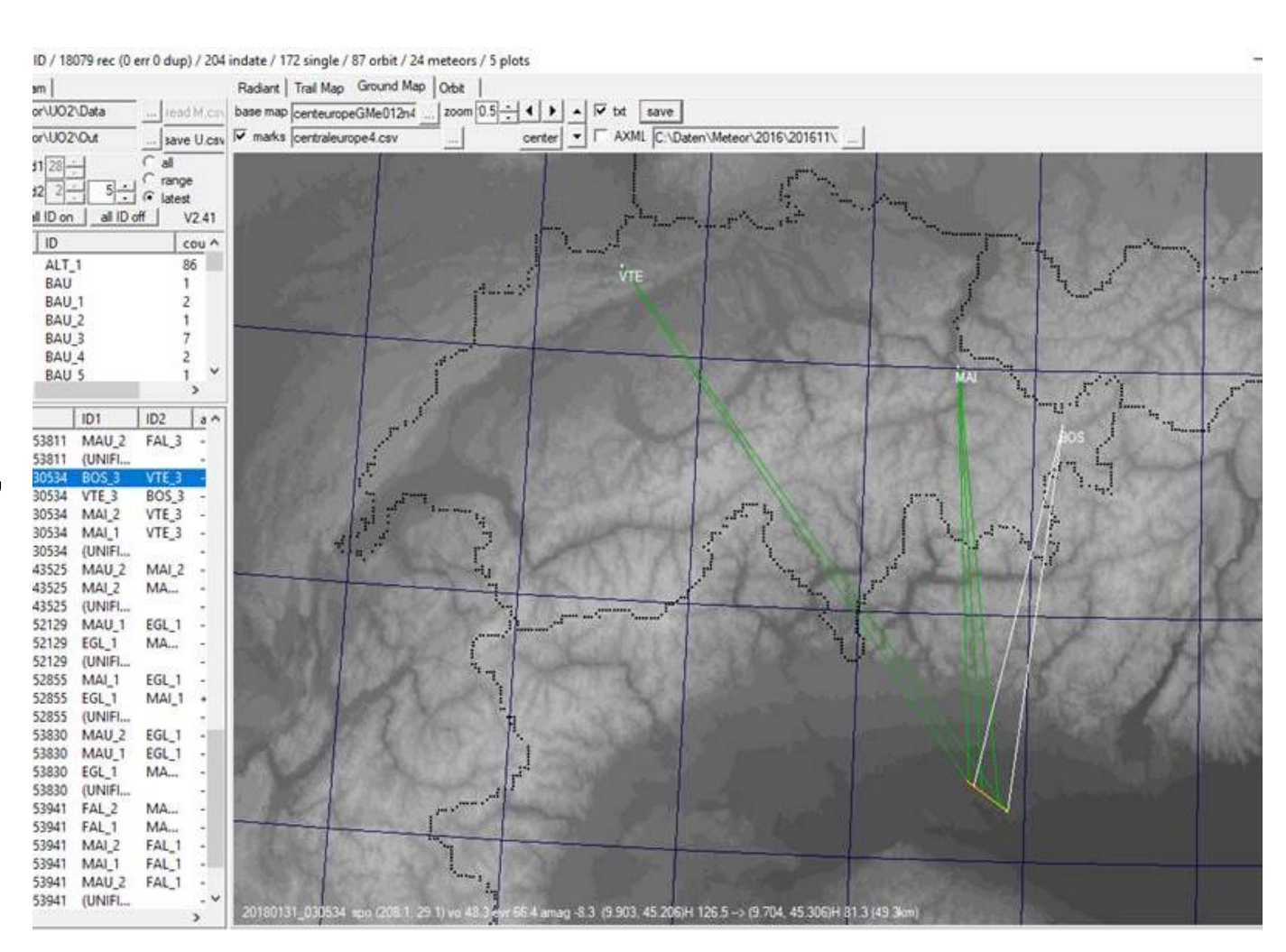
Messung

- Hardware: Infra20-Mikrobarometer
 - 0.001 Pa resolution
 - 0.05 20 Hz Frequenzbereich
- Software:
 - AmaSeis Datalogging
 - WinQuake Datenanalyse



Aktuelles Beispiel M20180131_030534

- UFO Orbit
 - QR $\sim 45 55^{\circ}$
 - LD2:187 km BOS
 - 292 km VTE
 - → Laufzeit ca. 600, resp. 950 sec



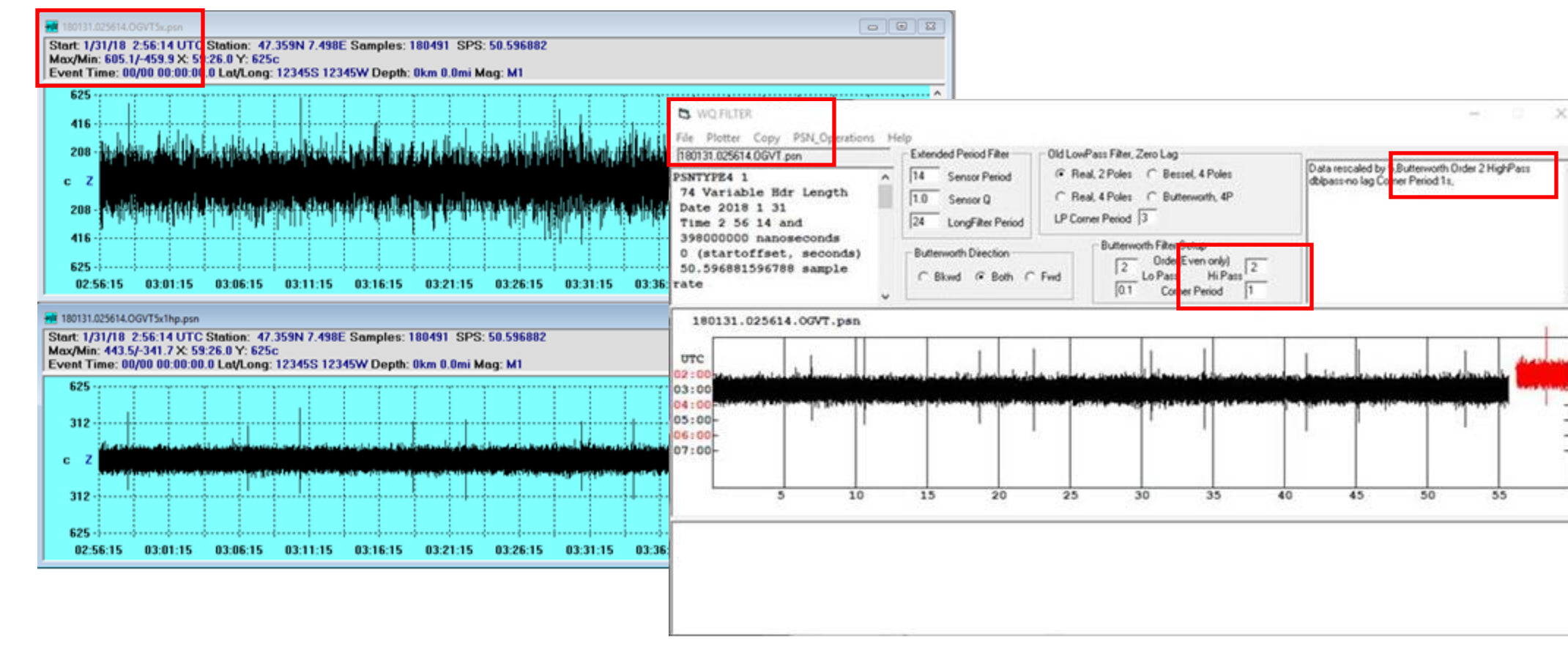
Meteorsignal?

Meteor M20180131_030534, VTE, -6m



Signalfilterung

- Niederfrequentes Rauschen des Detektors (1/f Noise)
- Reduziert mit Hochpassfilter (Durchlass > 1Hz)



Filter

Butterworth Hochpassfilter

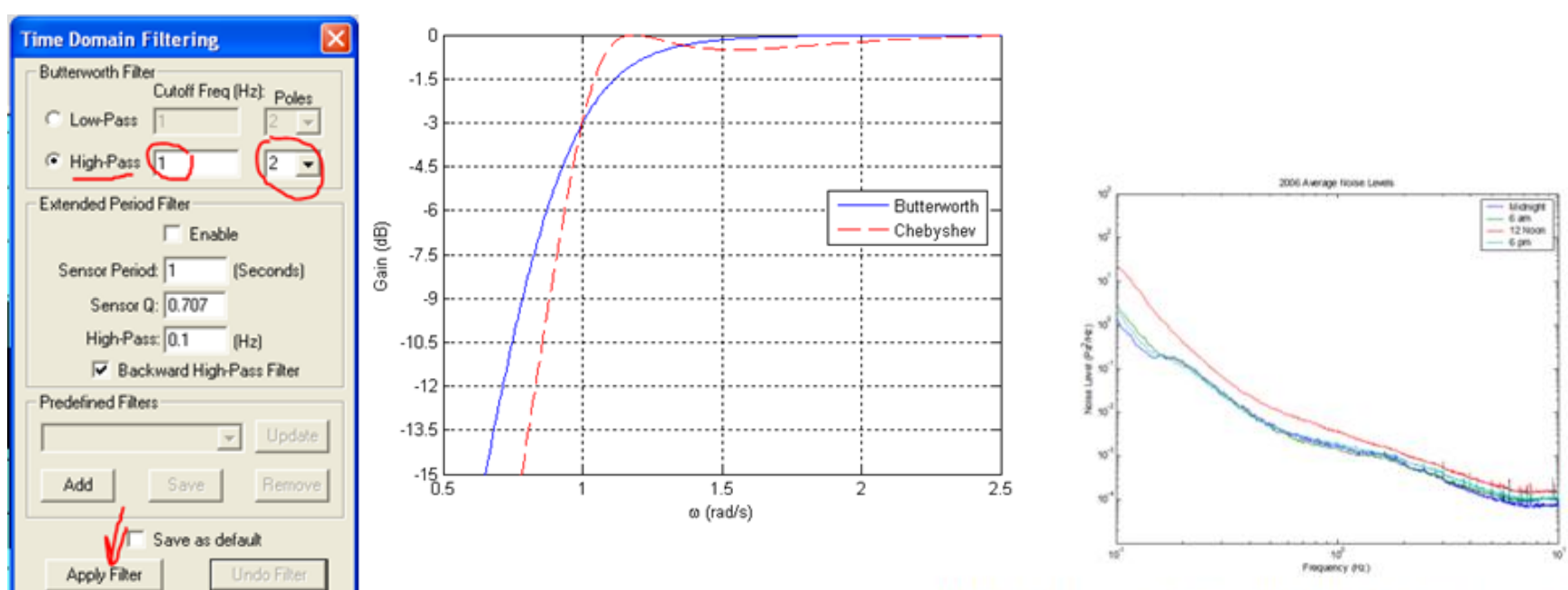


Figure S5.2: A power spectral density (PSD) plot for the entire array for the summer 2006 showing the noise levels as a function of day/night hour. The average noise levels at ELFO at 10 Hz, 1 Hz and 0.1 Hz are $\sim 10^{-4}$ Pa²/Hz, $\sim 10^{-3}$ Pa²/Hz, and $\sim 10^{-1}$ Pa²/Hz, respectively.

Elizabeth A. Silber, Peter G. Brown: Meteor Infrasound, Arxiv1407.6331

Help

Close

Verbesserung Setup

- Isolation
- Windschutz
- Mehrere Anschlüsse
- Schlauch mit Löchern (Erhöhung Anzahl Messungen) vermeidet Resonanzen
- Mehrere Stationen
 - Richtungsbestimmung

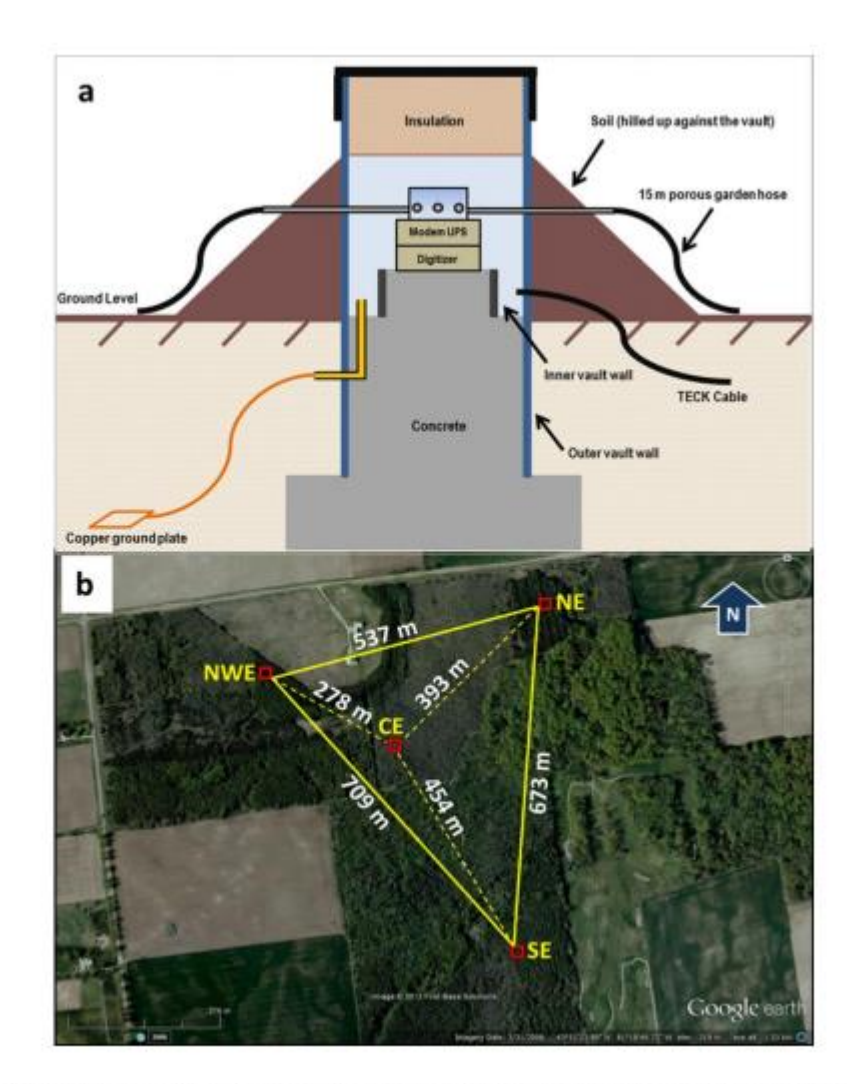


Figure S5.1: (a) ELFO vault diagram; (b) plane view of the array configuration of ELFO.

Zusammenfassung

- Schallausbreitung relativ kompliziert
 - Beeinflusst durch Temperatur,
 - Wind, Turbulenz
 - Intensität nur mit gutem Atmosphärenmodell
- Detektion bevorzugt für Meteore mit Endhöhe < 40 km</p>
- Uberschallknall bei QR = 90+/-20°, Flugrichtung senkrecht zu Beobachter
- Detektion von Explosionen
- Elimination von Störsignalen (Hardware, Software)

Literatur

- Gute Übersicht: Elizabeth A. Silber, Peter G. Brown Arxiv1407.6331, Optical Observations of Meteors Generating Infrasound I: Acoustic Signal Identification and Phenomenology
- Grossereignisse (Cheliabinsk etc) IMS CTBTO Infrasound detection of meteors, M.N. ElGabry et.al.
- Vergleich Boliden Infrasound IMS, Liste 2002 2016 Refinement of Bolide Characteristics from Infrasound measurements Nayeob Gi, Peter Brown, Arxiv1704.07794
- J. S. Lamancusa Penn State 7/20/2009 Outdoor Sound Propagation
- D.A. Hilton et. al., Sonic Boom Ground Pressure Apollo 15 NASA TN D-6950, 1972
- Vergleich Rechnung Experiment: Numerical prediction of meteoric infrasound signatures, Marian Nemec et. al. Planetary and Space Science 140 (2017) 11–20
- Link zu allen verwendeten Papers (bis Ende Mai 2018): https://www.dropbox.com/sh/g5b0oxdrvg7is5n/AAC8fXczZTN8hy5bW6Xbp0g2a?dl=0

Dank

- Alle, die mit Diskussionen beigetragen haben
- Roger, Jochen, Jonas, Beat etc.